

Unidad 4: Transporte a plano inclinado

A: modelos de transporte - irradiación horaria y sub-horaria

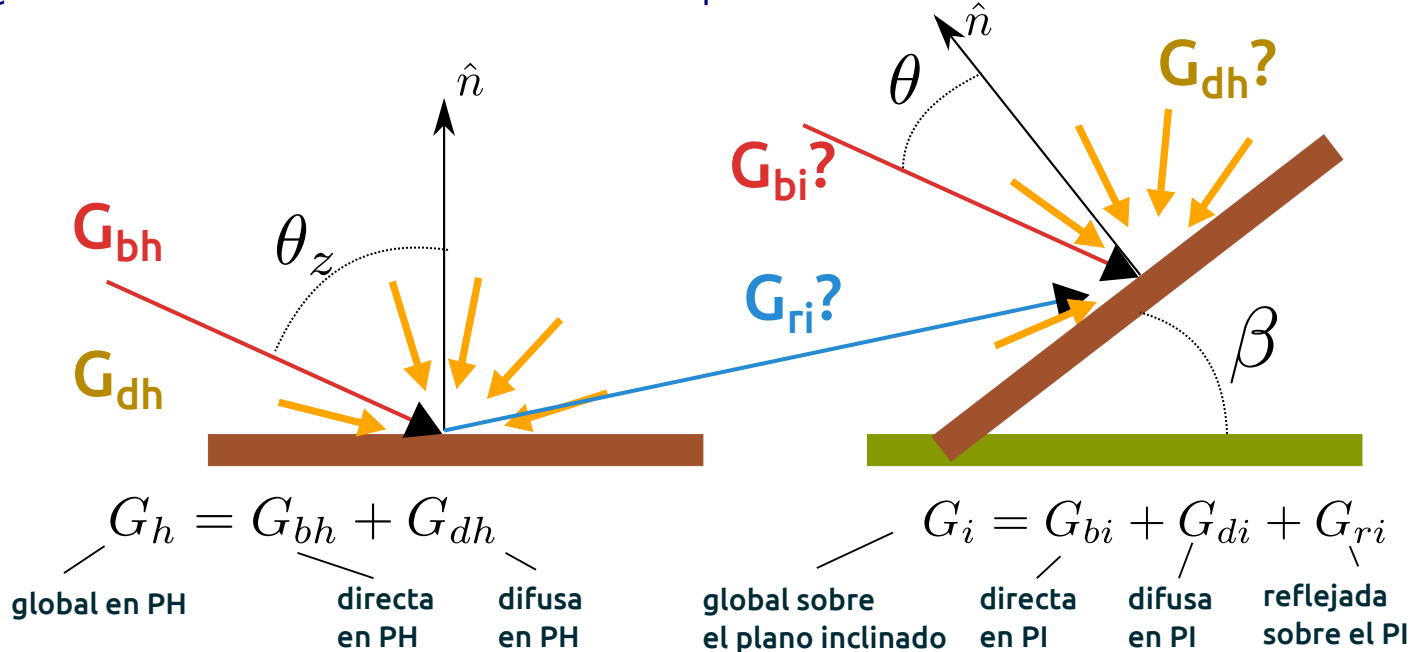
B: modelos de transporte - irradiación diaria

El problema del transporte de irradiancia

Una superficie inclinada queda definida por β (inclinación) y γ (orientación acimutal)

El caso de mas interés para la captación de energía por una superficie fija es cuando esta está orientada al ecuador (en el HS, la orientación es al Norte, $\gamma=0$).

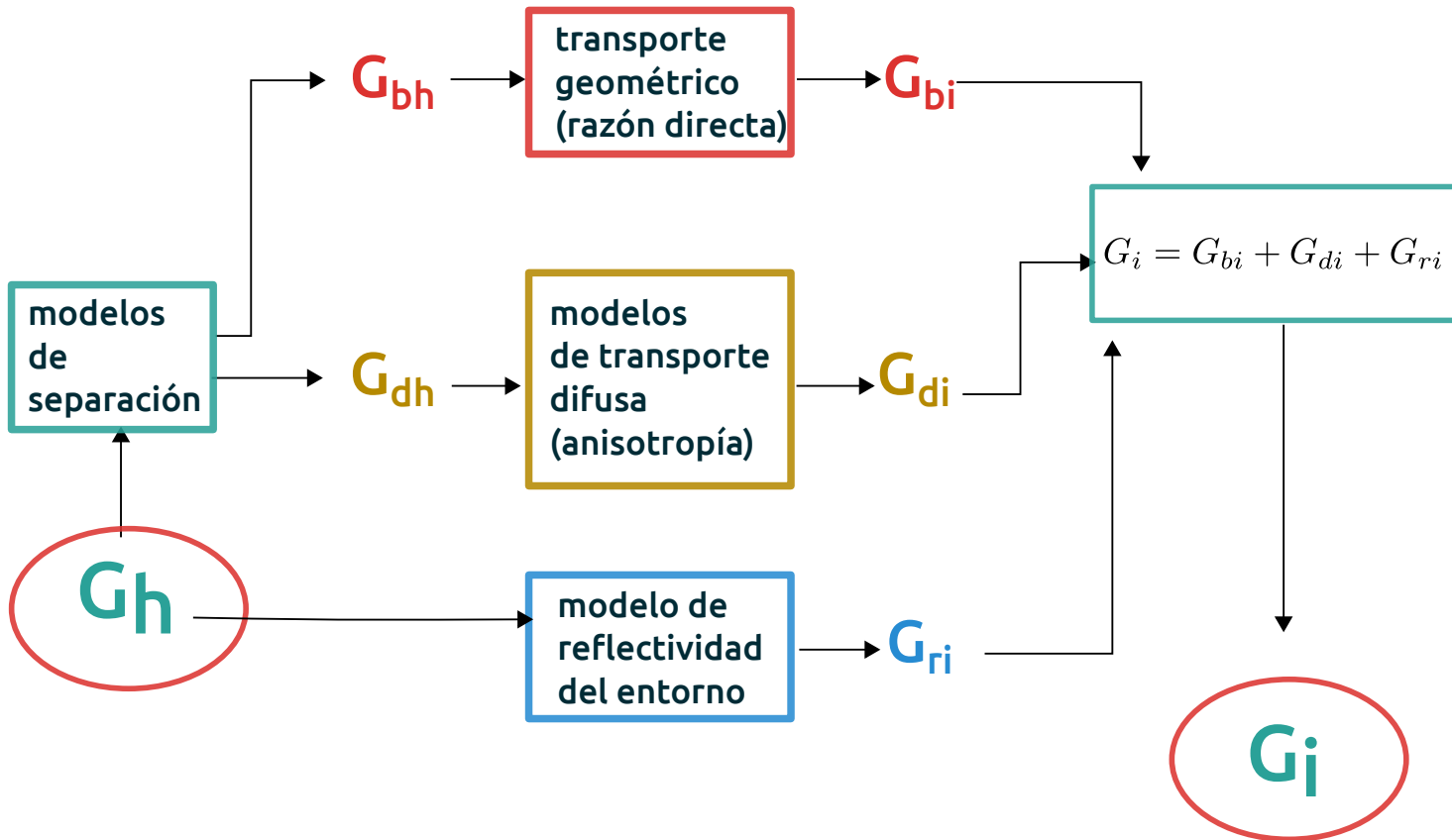
Dada la irradiación horaria (subhoraria) en PH, G_h y sus componentes G_{bh} y G_{dh}
 ¿Cómo se estima la irradiación sobre un plano inclinado?



Observación: Esto es válido para nivel instantáneo (G)
 o a nivel horario o subhorario (I)

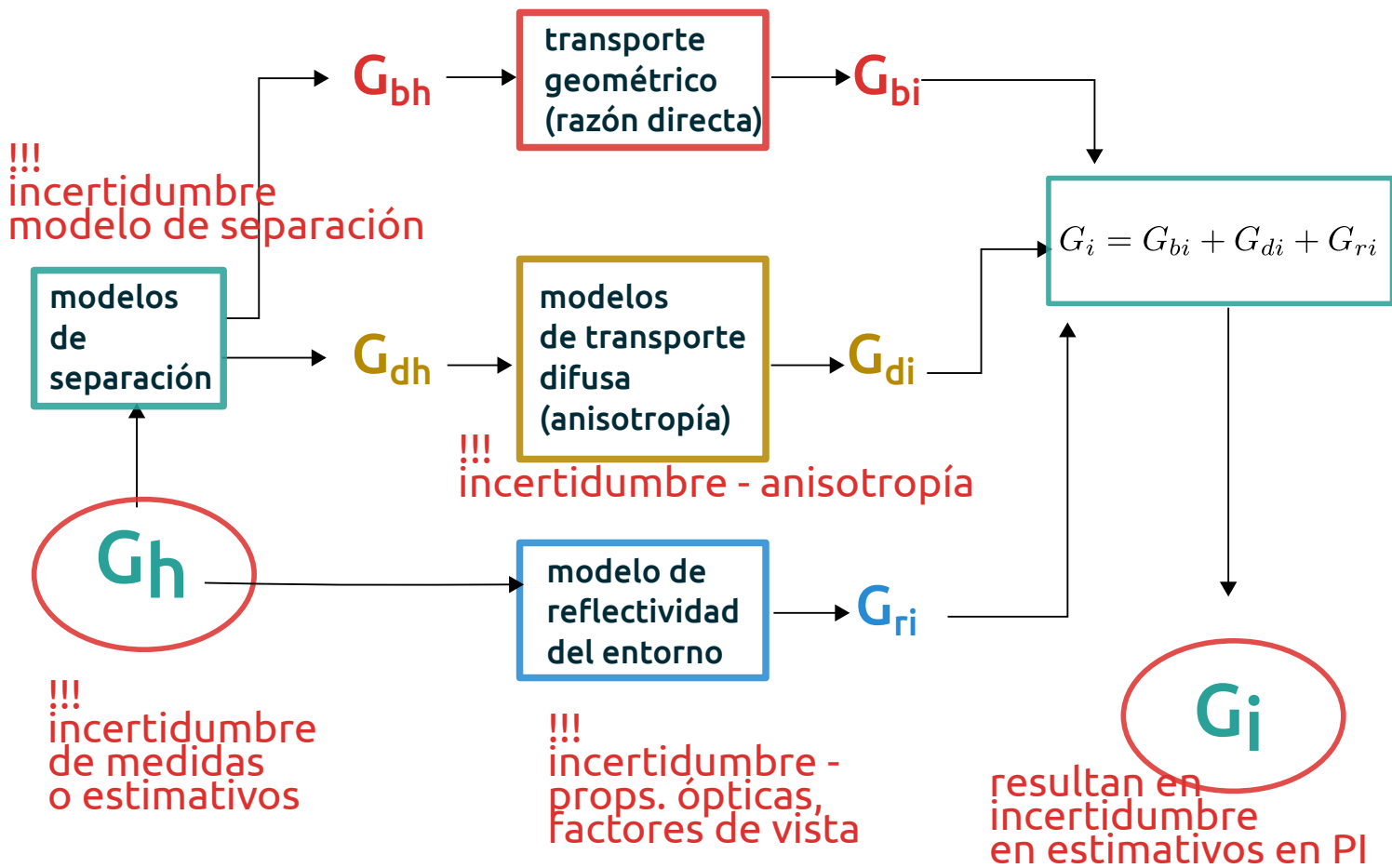
El problema del transporte de irradiación

Estrategia



El problema del transporte de irradiación

Estrategia

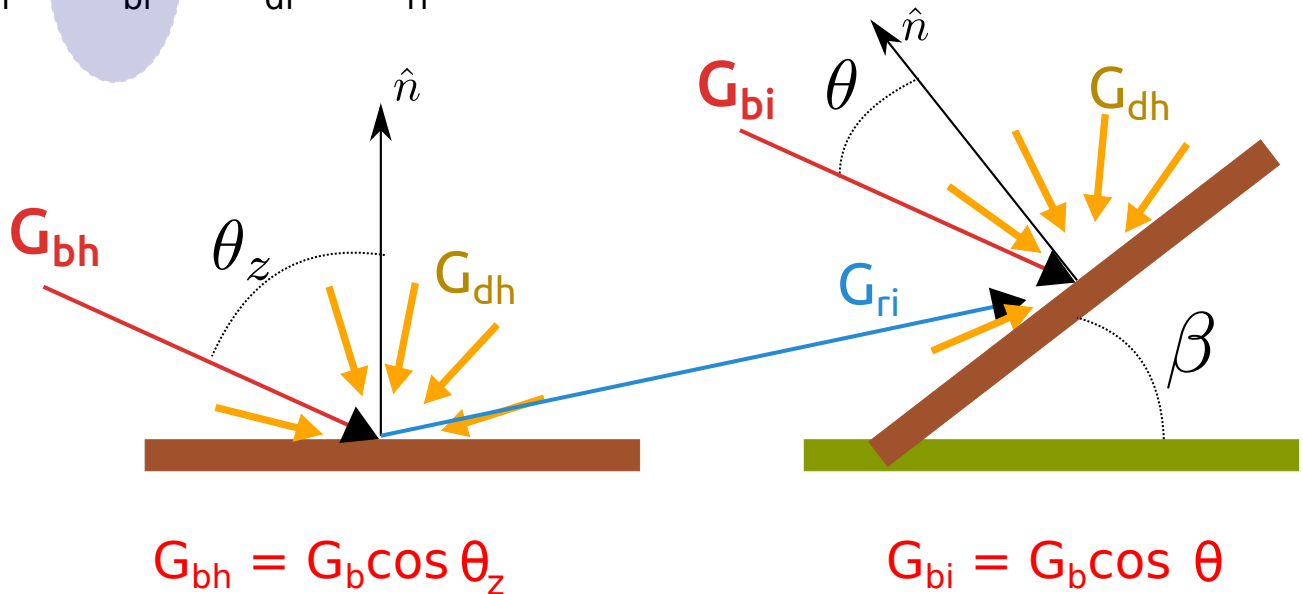


Transporte de irradiancia directa

El transporte de irradiancia directa es un problema geométrico

$$G_h = G_{bi} + G_{di} + G_{ri}$$

difusa (sky)
 directa
 reflejada



Transporte de irradiancia directa - razón directa

Componente directa en plano inclinado:

$$G_{bi} = G_b \cos \theta = G_{bh} \frac{\cos \theta}{\cos \theta_z}$$

Se define la razón directa r_b :

$$r_b = \frac{G_{bi}}{G_{bh}} = \frac{\cos \theta}{\cos \theta_z}$$

$$r_b = 0$$

$$\text{Si } \cos \theta > 0$$

$$\text{y } \cos \theta_z > 0$$

de otro modo

Sol sobre la
superficie

Sol sobre el
horizonte

es positiva y
adimensionada

De modo que: $G_{bi} = r_b G_{bh}$

La razón directa de un plano horizontal es 1.

La de un plano inclinado, puede ser mayor o menor que 1.

La razón directa a la salida/puesta del Sol puede diverger.

Caso mas relevante: superficie fija orientada al ecuador

$\gamma = 0$ o $\gamma = \pi$	$\sin \gamma = 0$	$s = \cos \gamma = \pm 1$
H.S.	H.N.	H.S. : $s = +1$
		H.N.: $s = -1$

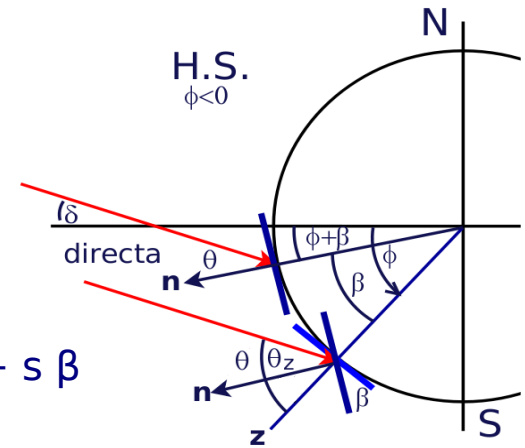
$$\cos \theta = [\sin \delta \sin \phi + \cos \delta \cos \phi \cos \omega] \cos \beta + s [\sin \delta \cos \phi - \cos \delta \sin \phi \cos \omega] \sin \beta.$$


Más fácil: usar **latitud equivalente**

$$\phi' = \phi + s\beta$$

Una superficie inclinada (β) en latitud ϕ
es paralela a una horizontal en latitud $\phi' = \phi + s\beta$

$$\begin{aligned} \cos \theta &= \cos \phi' \cos \delta \cos \omega + \sin \phi' \sin \delta \\ &= \cos(\phi + s\beta) \cos \delta \cos \omega + \sin(\phi + s\beta) \sin \delta \end{aligned}$$





Para una superficie orientada al ecuador

razón directa:

$$r_b(\beta) = \frac{\cos \theta}{\cos \theta_z} = \frac{\cos(\phi + s\beta) \cos \delta \cos \omega + \sin(\phi + s\beta) \sin \delta}{\cos \phi \cos \delta \cos \omega + \sin \phi \sin \delta}$$

o cero si numerador o denominador no son positivos.

H.S.: $s = 1$

H.N.: $s = -1$

Componente directa en plano inclinado:

$$G_{bi} = r_b(\beta) \times G_{bh}$$

el método de transporte
es geométrico.



Irradiancia reflejada

$$G_h = G_{bi} + G_{di} + G_{ri}$$

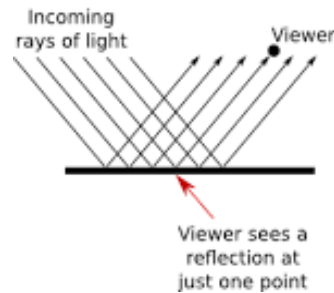
directa difusa (sky) reflejada
 | | |
 G_{bi} G_{di} G_{ri}

Suponemos: reflexión solo del suelo (plano e infinito) y lo modelamos como un **reflector difuso ideal** con reflectividad ρ_g .

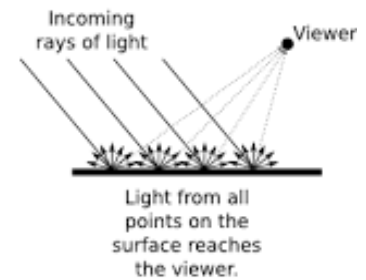
Puede ser mas complicado en situaciones reales !

Requiere suposiciones sobre el entorno de la superficie captadora.

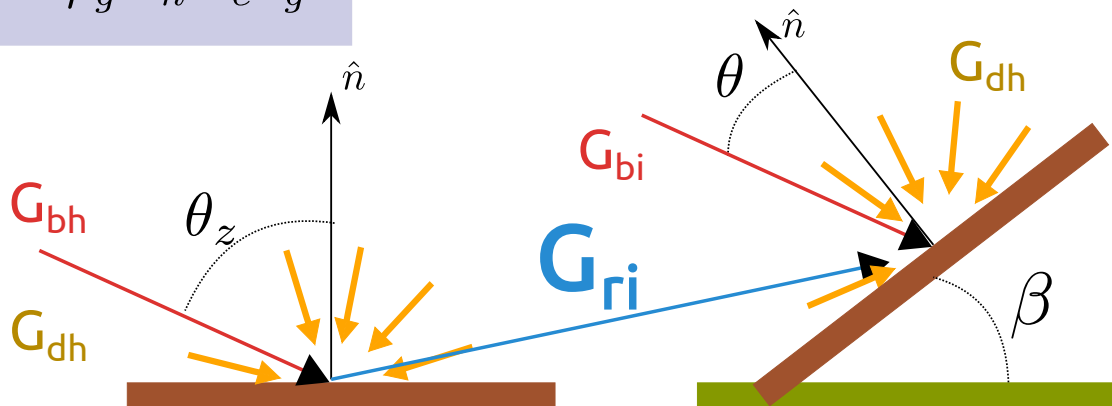
Specular Reflection



Diffuse Reflection



$$G_{ri} = \rho_g G_h F_{c-g}$$

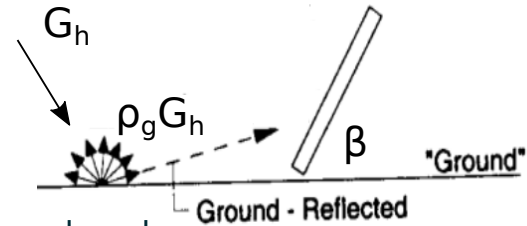




Factores de vista F_{C-g} y F_{C-sky}

$$G_{ri} = G_h \rho_g F_{C-g}$$

factor de vista
colector - suelo



Factor de vista colector-suelo (F_{C-g}):

Es la porción del campo visual del colector ocupada por el suelo.

Factor de vista reflector-cielo (F_{C-s}): análogo.

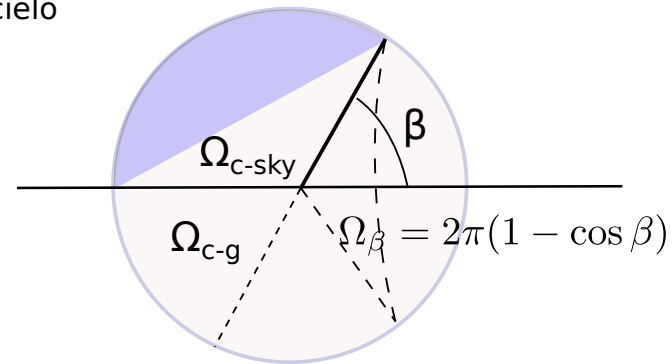
el colector solo ve al cielo o al suelo:

$$F_{C-g} + F_{C-sky} = 1$$

factor de vista
colector - cielo

$$F_{C-sky} = \frac{\Omega_{C-sky}}{2\pi} = \frac{1}{2}(1 + \cos \beta)$$

$$F_{C-g} = 1 - F_{C-sky} = \frac{1}{2}(1 - \cos \beta)$$





Componente reflejada

$$G_{ri} = \rho_g G_h \frac{1 - \cos \beta}{2}$$

importa más cuanto mayor es β

$$G_{ri}^{max} = \frac{1}{2} \rho_g G_h$$

si $\beta=90^\circ$

puede tener una
dependencia
estacional...

puede haber
otras superficies
contribuyendo
en forma
importante...

Superficie	ρ_g
nieve fresca	0,75
arena blanca	0,70
paredes claras (pintura clara, reboque o bloques claros, etc)	0,60
paredes oscuras (ladrillo o pintura oscura)	0,27
pedregullo	0,20
bitumen, asfalto	0,13
pasto verde	0,26
pasto seco	0,20
hojas secas	0,30
cemento armado antiguo	0,22
pintura negra	0,10
plantíos, cultivos maduros	0,26
caminos de tierra	0,04
suelo arcilloso	0,14
superficies de agua (ángulo de incidencia grande)	0,07

reflectividad típica vegetación: ~0.25

Transporte de irradiancia difusa

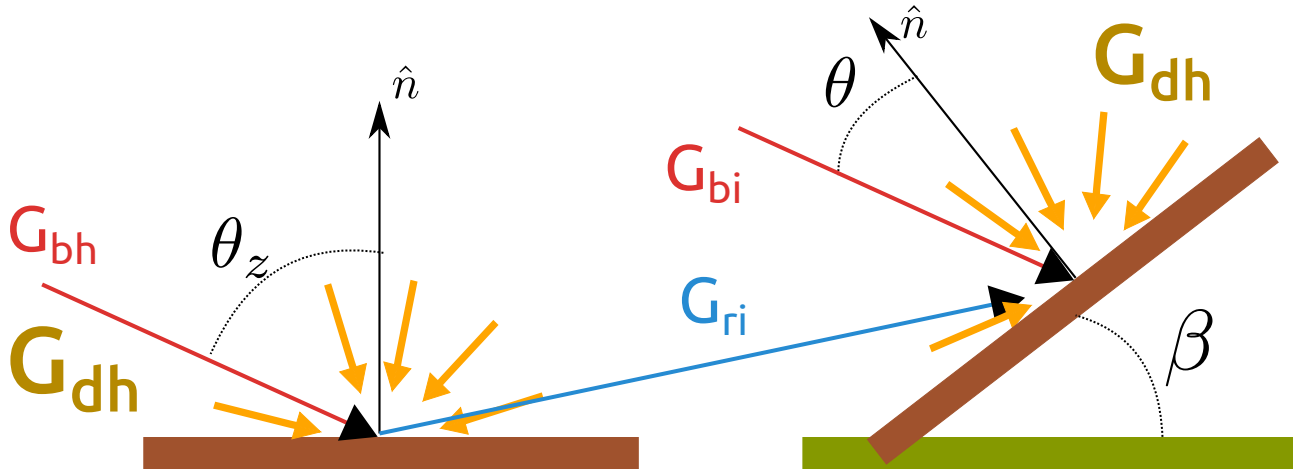


$$G_h = G_{bi} + G_{di} + G_{ri}$$

directa (under G_{bi})
 difusa (sky) (under G_{di})
 reflejada (under G_{ri})

si la irradiancia difusa se distribuyese en forma isotrópica en el cielo

el transporte de plano horizontal a plano inclinado sería un problema puramente geométrico. Pero....



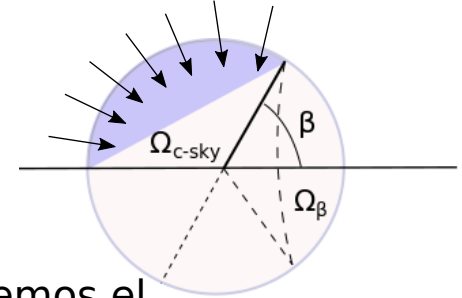
...el transporte de irradiancia difusa no es solo un problema geométrico debido a la anisotropía.

Hay varias estrategias...

Transporte a PI: Modelo isotrópico

Si suponemos una distribución isotrópica de la irradiancia difusa en la bóveda celeste, una fracción F_{c-sky} de la irradiancia difusa horizontal incide en la superficie inclinada.

$$G_{di}^{iso} = F_{c-sky} G_{dh} = \frac{1}{2} (1 + \cos \beta) G_{dh}$$



Considerando las hipótesis antes mencionadas tenemos el **modelo isotrópico**:

$$G_i^{iso} = r_b(\beta) G_{bh} + \frac{1}{2} (1 + \cos \beta) G_{dh} + \frac{1}{2} (1 - \cos \beta) \rho_g G_h$$

en términos adimensionados $r_i = G_i / G_h$

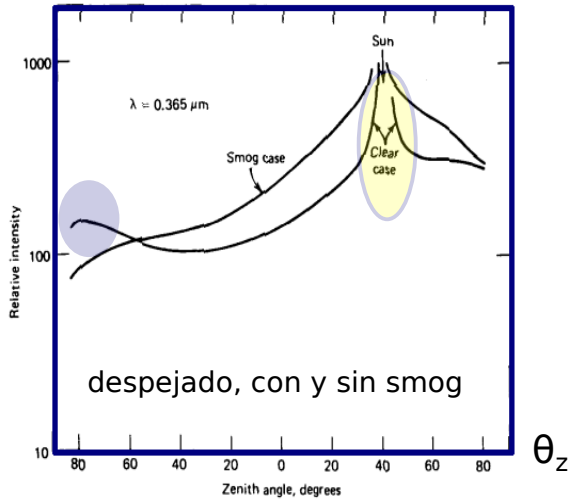
es necesario separar
directa y difusa antes del
transporte

$$r_i^{iso} = r_b(\beta) (1 - f_d) + \frac{1}{2} (1 + \cos \beta) f_d + \frac{1}{2} (1 - \cos \beta) \rho_g$$

Comentario: El modelo isotrópico es simple y robusto, pero subestima la irradiancia en plano inclinado. La mayor causante es que la radiación difusa no es isotrópica sino que tiene una gran componente en la dirección circumsolar.



Anisotropía en la irradiancia difusa

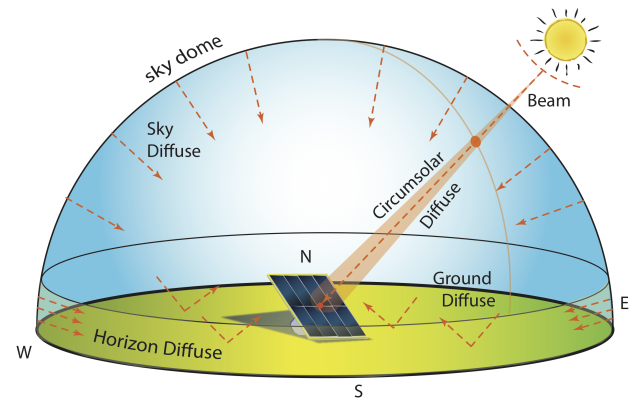



En condiciones cubiertas es aproximadamente isotrópica

Fig. de Duffie & Beckman ver Notas FRS

anisotropías principales para cielo no cubierto:

$$G_{di} = G_{di}^{iso} + \overset{\text{circumsolar}}{G_{di}^{cs}} + \overset{\text{brillo de horizonte}}{G_{di}^{hz}}$$





Transporte a PI: modelo HD (Hay y Davies)

tiene en cuenta la **anisotropía circumsolar**, usando un índice de anisotropía A_i , igual a la transmitancia directa:

$$A_i = \tau_b = \frac{G_b}{G_s F_n} = \frac{G_{bh}}{G_s F_n \cos \theta_z}$$

una fracción A_i de la difusa horizontal se considera como circumsolar y se trata como directa, lo cual aumenta algo el estimado en plano inclinado

$$G_{di} = \underbrace{(1 - A_i)G_{dh} \frac{1}{2}(1 + \cos \beta)}_{\text{isotrópica}} + \underbrace{A_i G_{dh} \times r_b(\beta)}_{\text{circumsolar}} \quad \underbrace{G_{di}^{hz} \approx 0}_{\text{brillo horizonte}}$$

en condiciones nubladas, $A_i = 0$, es toda difusa isotrópica.

en condiciones despejadas, $A_i \approx 0.85$ la mayor parte se trata como directa.

$$G_i^{HD} = r_b(\beta) (G_{bh} + A_i G_{dh}) + (1 - A_i) \frac{1}{2} (1 + \cos \beta) G_{dh} + \frac{1}{2} (1 - \cos \beta) \rho_g G_h$$

versión adimensionada:

$$r_i^{HD} = r_b(1 - f_d + A_i f_d) + (1 - A_i) \frac{1}{2} (1 + \cos \beta) f_d + \frac{1}{2} (1 - \cos \beta) \rho_g$$

Transporte a PI: modelo HD (Hay y Davies)

Observación:

En términos adimensionados, el modelo HD puede expresarse formalmente igual al modelo isotrópico, pero con una fracción difusa modificada

$$r_i^{HD} = r_b(\beta)(1 - \tilde{f}_d) + \frac{1}{2}(1 + \cos \beta) \tilde{f}_d + \frac{1}{2}(1 - \cos \beta) \rho_g$$

La transmitancia directa (o factor de anisotropía) es

$$A_i = \frac{G_b}{G_s F_n} = \frac{G_{bh}}{G_s F_n \cos \theta_z} = \frac{G_{bh}}{G_h} \frac{G_h}{G_s F_n \cos \theta_z} = (1 - f_d) k_t$$

definiendo la fracción difusa modificada:

$$\tilde{f}_d = f_d(1 - A_i) = f_d(1 - k_t + f_d k_t)$$

Usando $\tilde{f}_d \rightarrow f_d$ se recupera el modelo isotrópico.



Agrega al modelo HD la **anisotropía de horizonte**, usando un factor f que depende de la fracción difusa: (Klucher y Reindl, ver NRS)

$$G_{di} = \underbrace{(1 - A_i)G_{dh} \frac{1}{2}(1 + \cos \beta) \left[1 + f \sin^3 \left(\frac{\beta}{2} \right) \right]}_{\text{isotrópica + brillo horizonte}} + \underbrace{A_i G_{dh} \times r_b(\beta)}_{\text{circumsolar}}$$

contribución mayor en cielo despejado:

despejado: $f_d \approx 0.15 \rightarrow f \approx 0.92$

cubierto: $f_d = 1 \rightarrow f = 0$

$$f = \sqrt{1 - f_d}$$

$$G_i^{HDKR} = r_b(\beta) (G_{bh} + A_i G_{dh}) + (1 - A_i) \frac{1}{2} (1 + \cos \beta) \left[1 + f \sin^3 \left(\frac{\beta}{2} \right) \right] G_{dh} + \frac{1}{2} (1 - \cos \beta) \rho_g G_h$$

razón directa

$$r_i^{HDKR} = r_b(\beta) (1 - \tilde{f}_d) + \frac{1}{2} (1 + \cos \beta) \left[1 + f \sin^3 \left(\frac{\beta}{2} \right) \right] \tilde{f}_d + \frac{1}{2} (1 - \cos \beta) \rho_g$$



Desempeño de modelos de transporte (horario y sub-horario)

Dificultad: existen pocos datos confiables de G_i , G_{bh} y G_{dh} en Uruguay

Parte del trabajo de tesis de Inti Piccioli en la Maestría en Ing. Energía), en curso

Validación de modelos de transporte utilizando medidas (con control de calidad) registradas en el LES (Salto) durante años 2017-2020, integradas a irradiación 10-minutal u horaria.

se obtiene irradiación en plano inclinado G_i ($\beta=30^\circ$ y 45°), a partir de:

- medidas G_h , G_b , G_{dh} (notación "sin sep")
- medidas de G_h y modelos de separación (notación "con sep")

rMBE	beta=30°				beta=45°			
	10-minutal		horario		10-minutal		horario	
	Sin Sep	Con Sep	Sin Sep	Con Sep	Sin Sep	Con Sep	Sin Sep	Con Sep
Modelo								
ISO	-2.5	-0.3	-2.3	-0.2	-1.8	0.4	-1.4	0.7
HD	-0.9	1.3	-0.8	1.4	0.6	3	1	3.1
HDKR	-0.8	1.4	-0.7	1.5	0.9	3.3	1.3	3.5
rRMSD	beta=30°				beta=45°			
	10-minutal		horario		10-minutal		horario	
	Sin Sep	Con Sep	Sin Sep	Con Sep	Sin Sep	Con Sep	Sin Sep	Con Sep
Modelo								
ISO	4.2	4.2	3.8	3.6	5	5.1	4.2	4.5
HD	2.9	3.9	2.4	3.3	3.6	5.7	3	5.1
HDKR	2.8	3.9	2.4	3.3	3.6	5.9	3.1	5.3
GTI media (W/m2)	690.7	598.6	731.6	638.9	663.6	565.4	705.5	597.2
# datos	11563	14424	1386	1919	23150	29014	2938	4127

todos los valores expresados en % de la media de las medidas





Algunas conclusiones preliminares:

- A menor escala temporal más incertidumbre. A mayor ángulo de inclinación más incertidumbre. (en términos de rRMSD)
- **Incertidumbre característica:** entre 3 y 5 % de la media de la medida (mayores para inclinación de 45°). Es del orden de la incertidumbre en la medida en PH. El transporte no introduce mucha incertidumbre, si se conoce la separación directa-difusa.
- Los sesgos de los modelos varían en su signo para diferentes inclinaciones de la transposición. Utilizando la separación directa-difusa el **modelo isotrópico subestima** la irradiación en plano inclinado con sesgos negativos de -3%. Con modelos de separación **HD y HDKR sobreestiman** entre 1--3%.
- Si no se conoce la separación directa-difusa y se usa un modelo de separación la incertidumbre introducida afecta menos al **modelo isotrópico** que es más robusto y pasa a tener un desempeño competitivo al de modelos más sofisticados: rMBD = -0.3% y rRMSD = 4--5 %.

Resultados preliminares, trabajo en curso.



Fin de la Parte 1 de la Unidad 4